



<https://gep.ui.ac.ir/?lang=en>
Geography and Environmental Planning
E-ISSN: 2252- 0910
Document Type: Research Paper
Vol. 33, Issue 4, No.88, Winter 2022, pp. 1- 4
Received: 07/04/2022 Accepted: 29/05/2022

Investigating the Effects of Land Changes on some Pollutants in the Mahshahr Industrial Zone using Remote Sensing and Analysis of Variance (ANOVA) Images

Sorour Pourmohammadi¹, Ali Lotfi^{2*}, Mehrdad Alranaee³

1- MA Student of Environment Sciences, Department of Natural Resources, Isfahan University of Technology, Isfahan, Iran
pourmohammadi.sorour@na.iut.ac.ir
2- Assistant Professor of Environment Sciences, Department of Natural Resources, Isfahan University of Technology, Isfahan, Iran
lotfi@cc.iut.ac.ir
3- PhD Candidate of Environment Sciences, Department of Natural Resources, Isfahan University of Technology, Isfahan, Iran
mehrdadranee137166@gmail.com

Abstract

Air pollution is known as one of the most important environmental problems in cities, especially in industrial cities, which causes various cardiovascular diseases and many deaths every year. Assessing the trend of spatial variations in the distribution of air pollution in areas with heavy industry is essential for the sustainable development of these areas. Considering the importance of Mahshahr County as the largest industrial hub of the country, the present study examines the concentrations of NO₂, SO₂, O₃, and PM₁₀ pollutants in different areas of Mahshahr industrial area, mapping and examining them in relation to different uses. In this study, Sentinel 2 satellite images and ENVI 5.3 software and the supervised maximum probability classification method were used to classify land use. Also, using the KRIGING interpolation method and air quality monitoring station information, the concentrations of the mentioned pollutants were seasonally zoned in the region. Analysis of variance (ANOVA) was used to investigate the differences between the concentrations of pollutants in the land uses in different seasons of the year. The results of the study showed that the highest risk use was industrial use and the lowest risk use was agricultural use. Also, the lowest concentration of studied pollutants was related to the Sarbandar station. The results of ANOVA also showed that among the different seasons of 2019-2020, autumn and winter have the most significant differences. The results of this study can help identify air pollution and its relationship with land use changes, as well as control and reduce the concentration of pollutants in the study area.

Keywords: Land Use, Air Pollution, Analysis of Variance, Remote Sensing, Maximum Probability, Mahshahr County.

Introduction

*Corresponding Author

Pourmohammadi, S., Lotfi, A., & Alranaee, M. (2022). Investigation of the effect of land changes for some pollutants in Mahshahr industrial zone using remote sensing and analysis of variance (ANOVA) images. *Geography and Environmental Planning*, 33 (4), 1-4.



This work is licensed under a Creative Commons Attribution-NonCommercial 4.0 International License



<https://doi.org/10.22108/gep.2022.133195.1510>



20.1001.1.20085362.1401.33.4.4.8

Air pollution is one of the major environmental and economic problems worldwide, and it is becoming more acute in industrial areas. The World Health Organization (WHO) and the International Agency for Research on Cancer (IARC) have identified air pollution as a carcinogen for humans, and about 90% of people around the world breathe in polluted and toxic air every day. Awareness of the effects of different concentrations of air pollutants on the use of industrial areas is one of the basic requirements in land planning and management and sustainable development. Currently, the use of remote sensing is the best method for preparing land use maps. Given the importance of the impact of pollutants released into the atmosphere and land use, especially in industrial areas, there is a need for accurate and effective cognition in this field and researchers seek to understand the relationship between the spatial distribution of air pollutants and its relationship with land use. The present study aims at investigating the concentrations of O₃, PM10, NO₂, and SO₂ pollutants in the industrial area of Mahshahr city and evaluating the trend of air pollution in relation to spatial and temporal changes and its possible relationship with land use.

Methodology

In the present study, satellite images of Sentile 2 and ENVI 5.3 software and a supervised maximum probability classification method have been used to classify land use. Also, using the KRIGING interpolation method and air quality monitoring station information, the concentrations of these pollutants were seasonally zoned in the region and analyzed by variance analysis (ANOVA). They were used to investigate the differences between the concentrations of pollutants in land uses in different seasons of the year.

Discussion

The results of the average concentration of pollutants studied in different seasons of the mentioned years show that the highest concentration of studied pollutants in different seasons of the mentioned years is related to the industrial area (stations 1, 2, 3, 4, and 5 in the region. The lowest concentration of the mentioned pollutants is related to the Sarbandar residential area (station 7). Also, the Mahshahr residential area (station 6) due to being closer to the Mahshahr special economic zone, has a higher concentration of studied pollutants than the Sarbandar area. Estuaries barren areas 1 and 2, in autumn and winter, have the highest concentration of pollution. The results also showed that the highest endangered use is industrial use and the lowest endangered use is agricultural use.

Conclusion

In general, it can be concluded that the highest concentration of NO₂, SO₂, O₃, and PM10 pollutants is related to the Mahshahr Special Economic Zone station and the lowest concentration of these pollutants is related to the Sarbandar station. Mahshahr Economic Special Zone, due to the existence of several petrochemical industries located in this place and the high production and spread of these pollutants in the atmosphere, also affects other parts of the study area. Among the land uses used in this study, estuaries have higher concentrations of pollutants due to their proximity to Mahshahr Special Economic Zone and being more affected by this area with petrochemical industries. With the distance from these areas, the impact of land uses on pollutants is less and the least impact of pollutants on agricultural land use is less. Also, the results of the analysis of variance show that there is no significant difference between the concentrations of pollutants in different land use classes. The results of this study can help health authorities to identify the most polluted areas, the impact of air pollution on land use and the health of people in the area, as well as the extent of land use changes in the area. The study also helps policymakers in designing and implementing action plans to reduce concentrations of NO₂, SO₂, O₃, and PM10 pollutants.

References

- Abbasspour, M., Javid, A., & Saeidi, S. (2014). The Impact of Urban Parks on PM10 Suspended Particles, Through Using GIS Software. *Journal of Environmental Science and Technology*, 16(1), 1-12.

- Akbari, E., Zangane Asadi, M. A., & Taghavi, E. (2016). Change detection land use and land cover regional neyshabour using Different methods of statistical training theory. *Journal of Geographical Planning of Space*, 6(20), 35-50.
- Albanese, S., De Vivo, B., Lima, A., Frattasio, G., Kříbek, B., Nyambe, I. & Majer, V. (2014). Prioritizing environmental risk at the regional scale by a GIS aided technique. *Journal of Geochemical Exploration*, 144, 332-344.
- Atai, H., & Hashemi Nasab, S. (2011). Identification and analysis of atmospheric mid-level patterns affecting air pollution in Isfahan. *Journal of Research and Urban Planning*, 2(4), 97-113.
- Borge, R., Narros, A., Artíñano, B., Yagüe, C., Gómez-Moreno, F., & Paz, D. (2016). Assessment of microscale spatiotemporal variation of air pollution at an urban hotspot in Madrid (Spain) through an extensive field campaign. *Journal of Atmospheric Environment*, 140, 432-445.
- Chiang, T., Yuan, T., Shie, R., Chen, C., & Chan, C. (2016). Increased incidence of allergic rhinitis, bronchitis and asthma, in children living near a petrochemical complex with SO₂ pollution. *Environment International Journal*, 96, 1-7.
- Deligiorgi, D., & Philippopoulos, K. (2018). Spatial interpolation methodologies in urban air pollution modeling. *Journal of Advanced Air Pollution*, 341, 62-73.
- El Baroudy, A. A. (2016). Mapping and evaluating land suitability using a GIS-based model. *Catena*, 140, 96-140.
- Fallah Sourki M., Kavian A., & Omidvar E. (2016). Prioritization of Haraz sub-watersheds in order to soil and water conservation practices based on morphometric and land use characteristics. *Journal of Science and Technology of Agriculture and Natural Resources*, 20(77), 85-99.
- Fan, F., Weng, Q., & Wang, Y. (2007). Land use land cover change in Guangzhou, China, from 1998 to 2003, based on Landsat TM/ETM⁺ imagery. *Sensors*, 7, 1323-1342.
- Guo, L., Yuan, P., Song, Y., Peng, J., & Wang, L. (2011). Case study and environmental risk assessment of the petrochemical industry. In *2011 International Conference on Remote Sensing, Environment and Transportation Engineering* (pp. 5783-5786). IEEE.
- Halim, N. D. A., Latif, M. T., Mohamed, A. F., Maulud, K. N. A., Idrus, S., Azhari, A., ... & Sofwan, N. M. (2020). Spatial assessment of land use impact on air quality in mega urban regions, Malaysia. *Journal of Sustainable Cities and Society*, 63, 102436.
- Han, L., Zhao, J., Gao, Y., Gu, Z., Xin, K., Zhang, J. (2020). Spatial distribution characteristics of PM2.5 and PM10 in Xi'an City predicted by land use regression models. *Journal of Sustainable Cities and Society*, 61, 1-16.
- Ismailnejad, M., Eskandari Sani, M., & Barzaman, S. (2015). Evaluation and zoning of urban air pollution in Tabriz. *Journal of Regional Planning*, 5(19), 173-186.
- Jiang, Z., Cheng, H., Zhang, P., & Kang, T. (2021). Influence of urban morphological parameters on the distribution and diffusion of air pollutants: A case study in China. *Journal of Environmental Sciences*, 105, 163-172.
- Kelishadi, R., Moeini, R., & Poursafa, P. (2014). Independent association between air pollutants and vitamin D deficiency in young children in Isfahan, Iran. *Paediatrics and International Child Health*, 34(1), 50-55.
- Khan, J., Kakosimos, K., Raaschou, O., Brandt, J., Jensen, S. S., & Ellermann, T. (2019). Development and performance evaluation of new Air GIS—a GIS based air pollution and human exposure modelling system. *Journal of Atmospheric Environment*, 198, 102-121.
- Khavarian-Garmsir, A. R., & Rezaei, M. R. (2015). Selection of appropriate locations for industrial areas using GIS-fuzzy methods. A case study of Yazd Township, Iran. *Journal of Settlements and Spatial Planning*, 6(1), 19-25.
- Kongtip, P., Singkaew, P., Yoosook, W., Chantanakul, S., & Sujiratat, D. (2013). Health effects of people living close to a petrochemical industrial estate in Thailand. *Journal of the Medical Association of Thailand*, 96(5), 64-72.
- Kuo, Y. C., Lu, S. T., Tzeng, G. H., Lin, Y. C., & Huang, Y. S. (2013). Using fuzzy integral approach to enhance site selection assessment a case study of the optoelectronics industry. *Procedia Computer Science*, 17, 306-313.

- López-Serrano, P., Corral-Rivas, J., Díaz-Varela, R., Álvarez-González, J., & López-Sánchez, C. (2016). Evaluation of radiometric and atmospheric correction algorithms for aboveground forest biomass estimation using landsat 5 TM data. *Journal of Remote Sensing*, 8(5), 1-19.
- Lue, D., Xu, J., Yue, W., Mao, W., Yang, D., & Wang, J. (2020). Response of PM_{2.5} pollution to land use in China. *Journal of Cleaner Production*, 244, 1-25.
- Masroor, K., Yousefi, S., Fanaei, F., & Raeesi, M. (2020). Spatial modelling of PM2.5 concentrations in Tehran using Kriging and inverse distance weighting (IDW) methods. *Journal of Air Pollution and Health*, 5(1), 1-9.
- Memarbashi, E., Azadi, H., Barati, A.A., Mohajeri, F., Passel, S. V., & Witlox, F. (2017). Land-use suitability in Northeast Iran: application of AHP-GIS hybrid model. *ISPRS International Journal of Geo-Information*, 6(12), 1-15.
- Metia, S., Ha, P., Duc, H. N., & Scorgie, Y. (2020). Urban air pollution estimation using unscented Kalman filtered inverse modeling with scaled monitoring data. *Journal of Sustainable Cities and Society*, 54, 97-101.
- Montero, J. M., & Fernández, G. (2018). Functional kriging prediction of atmospheric particulate matter concentrations in Madrid, Spain: Is the new monitoring system masking potential public health problems? *Journal of Cleaner Production*, 175, 283-293.
- Nadal, M., Cadiach Ricoma, O., Kumar, V., Poblet, P., Mari, M., Schuhmacher, M. & Domingo, J. (2011). Health Risk Map of a Petrochemical Complex through GIS-Fuzzy Integration of Air Pollution Monitoring Data. *Human and Ecological Risk Assessment: An International Journal*, 17, 873-891.
- Noorpoor, A., & Feiz, S. (2014). Determination of the Spatial and Temporal Variation of SO₂, NO₂ and Particulate Matter Using GIS Techniques and Estimation of Concentration Modeling with LUR Method. *Journal of Environmental Studies*, 40(3), 723-738.
- Qiao, P., Lei, M., Yang, S., Yang, J., Guo, G., & Zhou, X. (2018). Comparing ordinary kriging and inverse distance weighting for soil as pollution in Beijing. *Journal of Environmental Science and Pollution Research*, 25(16), 597-608.
- Sarwar, M. T., & Maqbool, A. (2019). Causes and control measures of urban air pollution in China. *Environment and Ecosystem Science (EES)*, 3(1), 35-36.
- Seifi, M., Yunesian, M., & Nadafee, K. (2021). Exposure to ambient air pollution and socio-economic status on intelligence quotient among schoolchildren in a developing country. *Journal of Environmental Science and Pollution Research*, 29(1), 1-9.
- Sharifi Sadeh, M., & Ahmadi Nadoushan, M. (2018). Application of a land use regression (LUR) model to the spatial modelling of air pollutants in Esfahan city. *Journal of Environmental Sciences*, 16(2), 203-216.
- Shi, X., Li, M., Hunter, O., Guetti, B., Andrew A., & Stommel, E. (2019). Estimation of environmental exposure: interpolation, kernel density estimation or snapshotting. *Annals of GIS*, 25(1), 1-8.
- Tehrani, N. A., Mollalo, A., Farhani, F., & Pahlevanzade, N. (2021). Time-Series Analysis of COVID-19 in Iran: A Remote Sensing Perspective. *Journal of Geospatial Information and Community Resilience*, 21, 277-290.
- Vahdat Mohammadi, A., & Rahimi, S. (2013). Impact of urban land use pattern on Tehran air quality. *Journal of Research and Urban Planning*, 4(14), 123-142.
- Vahdat, A., & Alimohammadi, A. (2020). Study of Hourly Variability of Association between Land Use Parameters and CO Pollutants Using LUR Model in Tehran. *Iranian Journal of Remote Sensing and GIS*, 12(1), 1-18.
- Xu, H., Bechle, M. J., Wang, M., Szpiro, A. A., Vedal, S., & Bai, Y. (2019). National PM_{2.5} and NO₂ exposure models for China based on land use regression, satellite measurements, and universal kriging. *Journal of Science of the Total Environment*, 655, 423-433.
- Yang, C. Y., Wang, J. D., Chan, C. C., Hwang, J. S., & Chen, P. C. (2021). Respiratory symptoms of primary school children living in a petrochemical polluted area in Taiwan. *Pediatr Pulmonol* 25, 299-303.
- Yu, H., Russell, A., Mulholland, J., Odman, T., Hu, Y. & Chang, H. (2018). Cross-comparison and evaluation of air pollution field estimation methods. *Journal of Atmospheric Environment*, 179, 49-60.

مقاله پژوهشی

بررسی اثر تغییرات کاربری اراضی بر غلظت بعضی از آلاینده‌ها در منطقه صنعتی ماهشهر با استفاده از تصاویر سنجش از دور و تحلیل واریانس (ANOVA)

سرور پورمحمدی، دانشجوی کارشناسی ارشد گروه محیط زیست، دانشکده منابع طبیعی، دانشگاه صنعتی اصفهان، اصفهان، ایران
pourmohammadi.sorour@na.iut.ac.ir

علی لطفی *، استادیار گروه محیط زیست، دانشکده منابع طبیعی، دانشگاه صنعتی اصفهان، اصفهان، ایران
lottfi@cc.iut.ac.ir

مهرداد الرعنایی، دانشجوی دکتری گروه محیط زیست، دانشکده منابع طبیعی، دانشگاه صنعتی اصفهان، اصفهان، ایران
mehrdadrananee137166@gmail.com

چکیده

آلودگی هوا یکی از مهم‌ترین مشکلات محیط‌زیستی در شهرها، به‌ویژه شهرهای صنعتی است که هرساله باعث بروز بیماری‌های قلبی عروقی و مرگ‌ومیر زیادی می‌شود. ارزیابی روند تغییرات مکانی پراکنش آلودگی هوا در مناطق دارای صنایع سنگین برای توسعه پایدار این مناطق ضروری است. با توجه به اهمیت شهرستان ماهشهر به عنوان یکی از قطب‌های صنعت پتروشیمی کشور، پژوهش حاضر غلظت آلاینده‌های NO_2 , SO_2 , PM_{10} در مناطق مختلف ناحیه صنعتی شهرستان ماهشهر، نقشه‌سازی آنها و ارتباط این آلاینده‌ها با کاربری‌های گوناگون را بررسی می‌کند. در این مطالعه، از تصاویر ماهواره‌ای ستینل ۲ مربوط به سال ۱۳۹۸-۱۳۹۹ و نرم‌افزار ENVI 5.3 و روش طبقه‌بندی نظارت شده حداقل احتمال به منظور طبقه‌بندی کاربری پوشش اراضی استفاده شده است. همچنین با استفاده از روش درون‌یابی KRIGING و داده‌های ایستگاه پایش کیفیت هوا، غلظت آلاینده‌های اشاره شده به صورت فصلی در سطح منطقه پهنه‌بندی، و از تحلیل واریانس (ANOVA) برای بررسی تفاوت میان غلظت آلاینده‌ها در کاربری‌ها و فضول مختلف سال استفاده شد. نتایج نشان داد که بیشترین کاربری در معرض خطر، کاربری صنعتی و کمترین کاربری در معرض خطر، کاربری کشاورزی است. همچنین کمترین میزان غلظت آلاینده‌های مطالعه شده به ایستگاه سریندر مربوط است. نتایج تحلیل واریانس نیز نشان داد که از میان فضول مختلف سال‌های ۱۳۹۸ و ۱۳۹۹، پاییز و زمستان بیشترین اختلاف معنادار را دارند. نتایج این مطالعه در بازه زمانی ۱۳۹۹-۱۳۹۸، به شناسایی آلودگی هوا و ارتباط آن با تغییرات کاربری اراضی و همچنین کترول و کاهش میزان غلظت آلاینده‌ها در منطقه مدنظر کمک می‌کند.

واژه‌های کلیدی: کاربری اراضی، سنجش از دور، آلودگی هوا، تحلیل واریانس، حداقل احتمال، شهرستان ماهشهر

*نویسنده مسئول

پورمحمدی، سرور، لطفی، علی *الرعایی، مهرداد. (۱۴۰۱). بررسی اثر تغییرات کاربری اراضی بر غلظت برخی از آلاینده‌ها در منطقه صنعتی ماهشهر با استفاده از تصاویر سنجش از دور و تحلیل واریانس (ANOVA). *جغرافیا و برنامه‌ریزی محیطی*, ۳۳(۴)، ۹۶-۷۹.



This work is licensed under a Creative Commons Attribution-NonCommercial 4.0 International License



<https://doi.org/10.22108/gep.2022.133195.1510>



20.1001.1.20085362.1401.33.4.4.8

مقدمه

آلودگی هوا یکی از مشکلات بزرگ زیست‌محیطی و اقتصادی در سراسر جهان است و مشکل حادتری در مناطق صنعتی محسوب می‌شود. منابع متنوع آلودگی هوا اعم از متحرک، صنعتی و طبیعی و همچنین تنوع وسیع آلاینده‌های آلی و شیمیایی باعث پیچیدگی هرچه بیشتر این پدیده شده و نحوه مدیریت آلودگی هوا، کنترل و ارزیابی خسارات را دشوارتر از پیش کرده است (پیکان‌پور و همکاران، ۱۴۰۰: ۲۶). سازمان بهداشت جهانی (WHO) و آژانس بین‌المللی تحقیقات سرطان (IARC) آلودگی هوا را عاملی سرطان‌زا برای انسان دانسته‌اند و این در حالی است که حدود ۹۰ درصد از مردم جهان هر روز هوای آلوده و سُمی تنفس می‌کنند (Yang et al., 2021, p. 15). قرار گرفتن طولانی مدت شهروندان در معرض آلودگی هوا خطر ابتلا به بیماری‌های روانی چون استرس، افسردگی، زوال عقلی، دوقطبی و اسکیزوفرنی را افزایش می‌دهد و از نظر جسمی نیز، عوارضی چون زایمان زودرس، سرطان ریه و بیماری‌های قلبی‌عروقی، تنفسی و مغزی را در پی دارد (Halim et al., 2020, p. 63; Jiang et al., 2021, p. 9).

آگاهی از تأثیر غلظت آلاینده‌های مختلف هوا بر کاربری‌های مناطق صنعتی و عوامل ایجادکننده آن از الزامات اولیه در برنامه‌ریزی و مدیریت سرزمین و توسعه پایدار است. موقعیت منابع آلاینده‌های مختلف هوا و کاربری اراضی از عوامل تأثیرگذار بر تولید و انتشار این آلاینده‌ها به‌شمار می‌آید. داده‌های ماهواره‌ای برای مطالعه تغییرات پوشش در کوتاه‌ترین زمان، با کمترین هزینه و بیشترین دقت به کار می‌رود (Kelishadi et al., 2014, p. 5). در حال حاضر، سنجش از دور بهترین روش تهیه نقشه‌های مربوط به کاربری اراضی است. داده‌های سنجش از دور به‌دلیل داشتن ویژگی‌هایی چون پوشش وسیع، بهنگام بودن، تکراری بودن، توان تفکیک طیفی و رادیومتریک و مکانی زیاد، فرمت رقومی و امکان پردازش رایانه‌ای قابلیت زیادی در بررسی تغییرات زمانی و مکانی کاربری اراضی دارند (Fan et al., 2007, p. 19).

با توجه به اهمیت میزان تأثیر آلاینده‌های منتشر شده در جو و کاربری اراضی به‌ویژه در نواحی صنعتی، لازم است شناختی دقیق و مؤثر در این زمینه صورت گیرد و پژوهشگران به‌دبیال درک ارتباط میان توزیع فضایی آلاینده‌های جوی و ارتباط آن با کاربری‌های مختلف از دیدگاه جغرافیا و برنامه‌ریزی شهری باشند (Sharifi sade, 2018, p. 13). در ادامه، به بعضی از مطالعات پژوهشگران داخلی و خارجی در این زمینه اشاره می‌شود. مطالعات بسیاری درباره ارتباط میان کاربری اراضی و آلاینده‌های هوا با استفاده از روش‌های مختلفی چون تصاویر ماهواره لندست، تکنیک‌های سنجش از دور و مدل رگرسیون کاربری اراضی انجام شده است (یوسفی و همکاران، ۱۳۹۰: ۸؛ محمداسماعیل، ۱۳۸۹: ۸؛ فیضی‌زاده و همکاران، ۱۳۸۶: ۱۰). نتایج نشان داده است که صنایع و کارخانه‌های مجاور شهرها نقش بسزایی در آلودگی هوای منطقه دارند و از مهم‌ترین عوامل تأثیرگذار بر سلامت مردم محسوب می‌شوند. همچنین موقعیت توپوگرافی و جغرافیایی شهرها و ترافیک‌های شهری از عوامل مؤثر در پراکنش آلاینده‌های است (Ismailnejad et al., 2015, p. 13; Vahdat and Alimohammadi, 2020, p. 18; Abbasspour et al., 2014, p. 12).

بسیاری از پژوهش‌ها، مکان‌یابی نامناسب منشأ آلودگی هوا در صنایع و شهرها را عامل ایجاد وضعیت حاد آلودگی هوا می‌دانند (Sarwar and Maqbool, 2019, p. 35; Halim et al., 2020, p. 10)؛ برای نمونه، در دو مطالعه، پژوهشگران (Han et al., 2020, p. 15; Lue et al., 2020, p. 18) دریافتند که نوع استفاده از سرزمین تأثیر بسزایی در میزان آلودگی هوای آن منطقه داشته است و نتایج پژوهش آنها نشان داد که توزیع فضایی آلاینده‌های PM_{10} و $PM_{2.5}$

ارتباط نزدیکی با محل استقرار مناطق صنعتی تولیدکننده آلودگی هوا دارد. همچنین در مطالعه دیگری، با هدف چیدمان بهینه کاربری اراضی کشاورزی، صنعتی و شهری و با لحاظ کردن معیار آلودگی هوا، نقشه پراکنش آلاینده‌های PM_{10} و NO_X با کمک نرم‌افزار AERMOD تهیه شد و یافته‌های پژوهش نشان‌دهنده آن بود که دستیابی به توسعه پایدار گذشته از مؤلفه‌های اکولوژیکی، اقتصادی و اجتماعی، نیازمند استفاده از مؤلفه پایدار و پویا از جمله آلودگی هواست (پیکان‌پور و همکاران، ۱۴۰۰: ۲۶).

برای پنهان‌بندی غلظت آلاینده‌های هوا، روش‌های گوناگونی وجود دارد، از جمله درون‌یابی وزن‌دهی مجدور عکس فاصله (IDW)، KRIGING و توابع شعاعی پایه. در مطالعات بسیاری، پراکنش آلاینده‌های موجود در جو را با استفاده از روش‌های درون‌یابی، به‌ویژه در نواحی صنعتی، مدل‌سازی کرده‌اند که نتایج نشان‌دهنده افزایش بروز بیماری‌های قلبی و ریوی در این نواحی بود (Nadal et al., 2011, p. 12; Albanese et al., 2014, p. 19).

در سال‌های اخیر، از روش‌های درون‌یابی در تعیین میزان پراکنش غلظت آلاینده‌های هوا به‌طور گسترده استفاده شده‌است. در مطالعاتی که کیفیت هوای پاییز و زمستان در شهر تهران را با استفاده از روش‌های مختلف درون‌یابی بررسی کردند، بهترین روش برای تهیه نقشه‌های توزیع آلودگی هوا استفاده از روش درون‌یابی KRIGING بوده‌است (Seifi et al., 2021, p. 9; Tehrani et al., 2021, p. 14).

در مطالعه‌ای، از روش درون‌یابی KRIGING برای پیش‌بینی آلودگی هوا در اسپانیا استفاده شد. نتایج این مطالعه نشان داد که این روش برای درون‌یابی و تهیه نقشه‌های آلودگی هوا بسیار دقیق است (Montero et al., 2018, p. 10). در مطالعه دیگری با عنوان «تعیین تغییرات مکانی و زمانی آلاینده‌های SO_2 , NO_2 و PM_{10} در شهر تهران» با استفاده از روش‌های درون‌یابی، برای تولید نقشه‌های کیفیت هوای حاصل از آلاینده‌های اشاره شده اقدام کردند. نتایج بررسی‌ها نشان داده‌است که مهم‌ترین عامل تأثیرگذار بر تغییرات آلاینده‌ها، حجم ترافیک و اماکن صنعتی است (Noorpoor et al., 2014, p. 15).

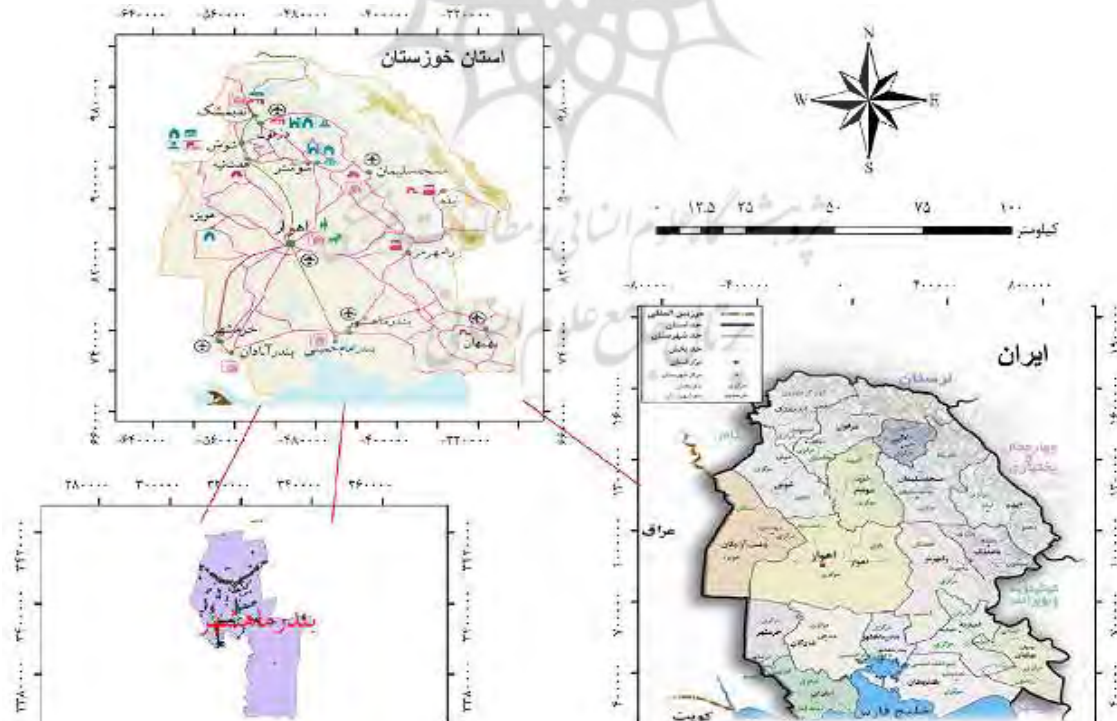
در پژوهش دیگری، با مشخص شدن غلظت مواد آلاینده موجود در جو و مناطق متأثر از این آلاینده‌ها و مقایسه نقشه GIS تهیه شده با نقشه کاربری اراضی منطقه، با توجه به نوع کاربری منطقه، غلظت‌های تخمین زده شده تجزیه و تحلیل شدند. پژوهشگران دریافتند که اختلاط این آلاینده‌ها در جو و تولید باران موجب ایجاد باران اسیدی روی خاک و تجهیزات و تأسیسات صنعتی اطراف یک پالایشگاه شده و خسارات زیادی به توسعه صنایع آن منطقه و حتی فضای سبز آنها در مقیاس کم وارد آورده است. بر مبنای نتایج این پژوهش، با توجه به فاصله صنایع از سواحل خلیج فارس، آلاینده‌ها تأثیر زیادی بر دریا و آبزیان نخواهد گذاشت (اسماعیل‌زاده و همکاران، ۱۳۹۲: ۱۳).

اهمیت زیاد صنایع پتروشیمی واقع در منطقه ویژه اقتصادی بندر ماهشهر و عواملی مانند هم‌جواری با مناطق مهم و حساس شهری و مسکونی، از جمله بندر امام خمینی و ماهشهر، و کاربری‌های اطراف این ناحیه صنعتی و احتمال انتقال آلاینده‌های منتشرشده از منطقه ویژه اقتصادی ماهشهر به کاربری‌های منطقه مطالعه شده، لزوم توجه به مشکل کیفیت هوای این منطقه را پیش از پیش مشخص می‌سازد. پژوهش حاضر اهدافی چون بررسی غلظت آلاینده‌های NO_2 , SO_2 و PM_{10} در منطقه صنعتی شهرستان ماهشهر و ارزیابی روند آلودگی هوا در ارتباط با تغییرات مکانی و زمانی و رابطه احتمالی آن با نوع کاربری اراضی را دنبال می‌کند.

منطقه مطالعه شده

شهرستان ماهشهر یکی از صنعتی‌ترین شهرستان‌های استان خوزستان به شمار می‌رود و شامل شهرهای ماهشهر و سربندر است. این شهرستان از لحاظ جغرافیایی بین ۴۸ درجه و ۵۶ دقیقه تا ۵۰ درجه و ۱۲ دقیقه طول شرقی از نصف‌النهار گرینویچ و ۳۰ درجه و ۱ دقیقه عرض شمالی از خط استوا قرار دارد. این منطقه جمعیتی برابر با ۲۷۸۰۳۷ نفر دارد (سرخیل و همکاران، ۱۳۹۷: ۱۶). حداقل بارندگی‌های ماهانه منطقه در بهمن‌ماه و به میزان ۷۵ میلی‌متر، و میانگین بارندگی‌های سالانه منطقه برابر با ۱۸۱ میلی‌متر است. ماه‌های خشک این منطقه خرداد تا شهریور است (محمدی و رباطی، ۱۳۸۸: ۲۱).

شهرستان ماهشهر از نظر تعداد صنعت در جایگاه پنجم کشور قرار دارد و ۳/۹۵ درصد از صنایع استان خوزستان را شامل می‌شود. کمیت صنایع این منطقه مانند پتروشیمی و غذایی، این شهرستان را به یکی از قطب‌های صنعتی کشور بدل کرده، اما از نظر جنبه‌های محیط‌زیستی، آن را در موقعیتی بسیار آلوده قرار داده است (ملماسی و همکاران، ۱۳۸۹: ۸). منطقه ویژه اقتصادی ماهشهر در محدوده ای به وسعت ۲۸۵۰ هکتار در جنوب غربی ایران و ساحل خلیج فارس واقع در شهرستان ماهشهر، بخش بندر امام خمینی (ره) قرار گرفته است. در حال حاضر، ۲۱ مجتمع تولیدی با ظرفیت ۲۶ میلیون تن محصول پتروشیمیایی در این منطقه طراحی و احداث شده است. واحدهای صنعتی شامل واحدهای شیمیایی، پتروشیمی، فلزی، کانی غیرفلزی، غذایی، نساجی و سلولزی هستند که تنوع چشمگیری دارند، اما از سویی، موجب تولید و انتشار آلاینده‌هایی از قبیل NO_2 و SO_3 می‌شوند (کیلان، ۱۳۹۲: ۸۷). شکل ۱ نشان‌دهنده موقعیت جغرافیایی شهرستان ماهشهر در استان خوزستان است.

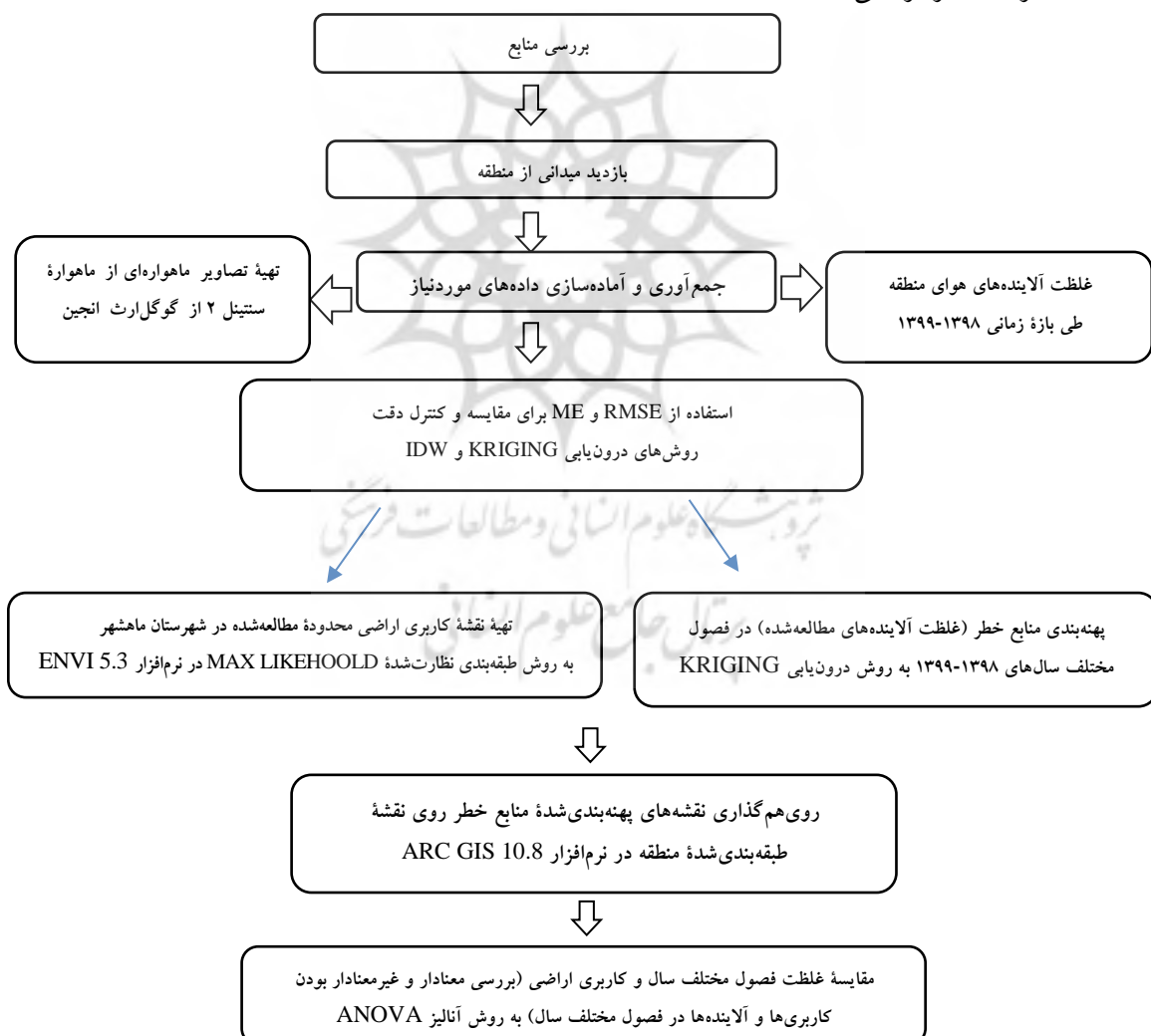


شکل ۱- موقعیت شهرستان ماهشهر در استان خوزستان (نویسنده‌گان، ۱۴۰۱)

Figure 1- Location of Mahshahr county in Khuzestan province (Authors, 2022)

روش پژوهش و گردآوری داده‌ها

مراحل انجام کار در این پژوهش در مدل مفهومی شکل ۲ آورده شده است. پژوهش حاضر کاربردی و ازنظر شیوه گردآوری داده‌ها، توصیفی تحلیلی است. برای دستیابی به هدف نهایی پژوهش، ابتدا تصاویر ماهواره‌ای (قدرت تفکیک مکانی ۱۰ متر) از ماهواره ستینل ۲ با پوشش ابر کمتر از ۵ درصد از سامانه گوگل ارث انجين و طی بازه زمانی ۱۳۹۹-۱۴۰۰ به صورت تصحیح شده دریافت، و همچنین از باندهای ۲، ۳ و ۸ برای وضوح بصری و تهیه تصویر رنگی کاذب استفاده شد. در ادامه، برای طبقه‌بندی تصاویر، از طبقه‌بندی نظارت شده حداًکثر احتمال در نرم‌افزار ENVIS.3 استفاده شد (López-Serrano et al., 2016, p. 19). در مرحله بعد، داده‌های آلاینده‌گی هشت ایستگاه واقع در شهرستان ماهشهر شامل یک ایستگاه ثابت در ناحیه ۱ منطقه ویژه اقتصادی ماهشهر، ۵ ایستگاه سیار در نواحی صنایع پتروشیمی بوعلی، تصفیه خانه فجر ۲، تخت جمشید، ضلع جنوبی فناوران و تندگویان واقع در منطقه ویژه اقتصادی ماهشهر، یک ایستگاه ثابت واقع در شهرداری بندر امام خمینی و یک ایستگاه ثابت واقع در اداره محیط‌زیست شهر ماهشهر بررسی شده است.



شکل ۲- مدل مفهومی کلی روش پژوهش (نویسنده‌گان، ۱۴۰۱)

Figure 2- Conceptual Model of the Method (Authors, 2022)

تهیه نقشه آلاینده‌های هوا و پهنه‌بندی منطقه

پارامترهای آلاینده بررسی شده در این پژوهش PM_{10} , O_3 , NO_2 , SO_2 هستند که با استفاده از مدل درونیابی KRIGING در نرم‌افزار ARCGIS 10.8 در سطح شهرستان ماشهر پهنه‌بندی شدند. برای مقایسه و کنترل دقت روش‌های درونیابی، از ریشه میانگین مربع خطأ (RMSE) و میانگین خطأ (ME) استفاده شد. ME معیاری از صحت مدل و مقدار صفر آن نشان‌دهنده صحت صدرصد است. هرقدر مقدار آن از صفر فاصله داشته باشد، حاکی از کم شدن صحت مدل است. RMSE معیاری از صحت تخمین است و هر اندازه RMSE یک متغیر کوچک‌تر باشد، صحت آن بیشتر خواهد بود. در زیر، فرمول‌های مربوط به ME و RMSE مشاهده می‌شود که در آنها، $Z(x_i)$ مقدار برآورده شده شاخص مخروطی، $x_i(Z)$ مقدار اندازه‌گیری شده متغیر شاخص مخروط و n تعداد داده‌هاست (Seifi et al., 2021, p. 9).

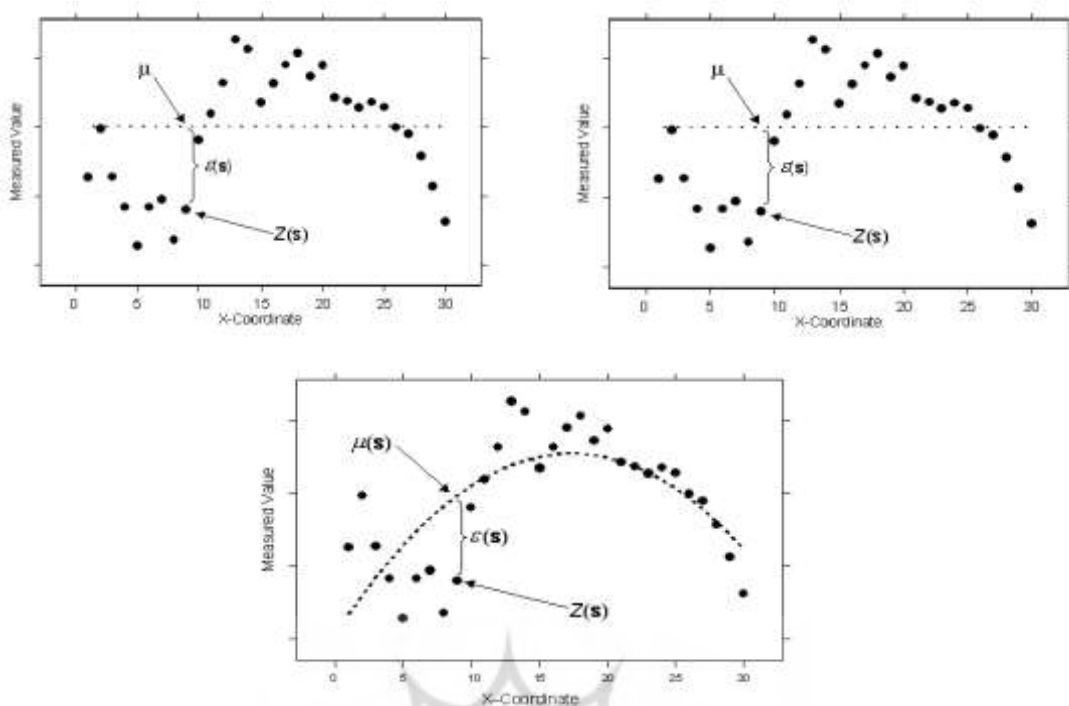
$$ME = \frac{1}{n} \sum_{i=1}^n |Z^*(x_i) - Z(x_i)| \quad (1)$$

$$RMSE = \frac{\sqrt{\sum_{i=1}^n ((Z^*(x_i) - Z(x_i))^2)}}{n} \quad (2)$$

روش KRIGING، یک روش تخمین زمین‌شناسی و درونیابی است که می‌تواند برآورد خطی و واریانس را در مکان نامعلوم ارائه دهد (Yu et al., 2018, p. 9). این روش زمین‌آماری براساس میانگین موزون متحرک است و می‌تواند به صورت زیر بیان شود:

$$\hat{Z}(s_0) = \sum_{i=1}^N \lambda_i Z(s_i) \quad (3)$$

در جایی که Z مقدار تخمینی است، λ_i وزن نمونه i است و (s_i) مقدار متغیر اندازه‌گیری شده است. این نوع کریجینگ را «کریجینگ خطی» می‌نامند. زیرا n عدد داده وجود دارد که شرط استفاده از آنها با ترکیب خطی توزیع نرمال مطابقت دارد؛ در غیر این صورت یا باید از کریجینگ غیرخطی استفاده شود یا متغیرها به طور معمول توزیع شوند (Xu et al., 2019, p. 10; Qiao et al., 2018, p. 9). در زیر، اشکال مختلف KRIGING در ARCGIS به صورت شماتیک آورده شده است.



شکل ۳- نحوه عملکرد انواع KRIGING در نرم افزار ARCGIS (طالبی فرد و همکاران، ۱۴۰۰: ۱۶)

تهیه نقشه کاربری اراضی

طبقه‌بندی پیکسل‌های برداشت شده از سنجنده ماهواره ستینل ۲ به کمک روش نظارت شده حداکثر احتمال گزینه مناسبی برای مطالعات و بررسی کاربری اراضی، تغییرات آن در بستر زمان و مدل‌سازی تغییرات محیط‌زیستی است (حمایتی نژاد و رجایی، ۱۳۹۲: ۱۶). طبقه‌بندی نظارت شده مقداری از داده‌ها را که معمولاً می‌تواند شامل ویژگی‌ها، توصیف‌ها، متغیرها یا اندازه‌گیری‌ها باشد، به مثابه نمونه تعلیمی در نظر می‌گیرد و براساس آنها، بقیه اطلاعات را در گروه‌های مجزایی قرار می‌دهد (Fan et al., 2007, p. 19). در این مطالعه، هفت کلاس کاربری اراضی به مثابه کلاس‌های غالب منطقه در نظر گرفته شده است. از هریک از کلاس‌ها، حداقل ۱۵۰ و حداکثر ۲۰۰ نمونه تعلیمی برای طبقه‌بندی تصاویر جمع‌آوری شد (Akbari et al., 2016, p. 15). برای افزایش دقت نمونه‌ها، تلاش شده است که نمونه‌های انتخابی از مناطق با شبیه و ارتفاع متفاوت جمع‌آوری شود (یوسفی و همکاران، ۱۳۹۰: ۱۳). در این روش، احتمال تعلق یک پیکسل مشخص به یک کلاس مدنظر براساس معادله زیر محاسبه می‌شود:

$$g_i(x) = \ln p(w_i) - \frac{1}{2} \ln |\sum_i| - \frac{1}{2} (x - m_i)^T \Sigma^{-1} (x - m_i) \quad (4)$$

در رابطه بالا، \mathbf{w}_i نشان‌دهنده هر کلاس کاربری و \mathbf{x} داده n بعدی (تعداد باندها) است، $p(w_i)$ احتمال اینکه w_i در تصویر وجود داشته باشد را محاسبه می‌کند که فرض می‌شود مقدار آن در تمامی کلاس‌ها یکسان است، $|\sum_i|$ دترمینان ماتریس کوواریانس داده‌ها در کلاس i ، m_i ماتریس معکوس آن و x بردار میانگین است. هرینه بر بودن

عملیات‌های میدانی باعث می‌شود که داده‌های سنجش از دور با اقبال بسیار زیادی همراه باشد و در زمینه‌های مختلف به کار رود. این نرم‌افزار با توجه به قابلیت زیاد و بهروز بودن آن، در این زمینه می‌تواند بسیار مفید واقع شود (Fan et al., 2007, p. 19). برای ارزیابی صحت نتایج طبقه‌بندی شده، نقشهٔ تولیدی با نقشهٔ واقعیت زمینی از طریق (ANOVA) بررسی شد. همچنین برای مشخص کردن صحت طبقه‌بندی از تحلیل واریانس (ANOVA) GOOGLE EARTH بررسی شد. GOOGLE EARTH ENGING از انواع داده‌های ماهواره‌ای پرکاربرد امروزی که به صورت رایگان استفاده شد. همچنین به پژوهشگران و کاربران اجازه می‌دهد به طور همزمان، داده‌های جغرافیایی سری زمانی را به روشنی ساده و سریع پردازش و تجزیه و تحلیل کنند (Tehrani et al., 2021, p. 14).

تحلیل واریانس (ANOVA)

ANOVA مجموعه‌ای از مدل‌های آماری است که میانگین در گروه‌ها و توابع وابسته به آنها (مثل واریانس در یک گروه یا بین چند گروه) را بررسی می‌کند. در این روش، واریانس به دست آمده از یک متغیر تصادفی به اجزای کوچکتری که منابع واریانس هستند، تقسیم می‌شود. در ساده‌ترین شکل آن، ANOVA آزمونی آماری را فراهم می‌کند که برابری میانگین‌های گروه‌های متفاوت را می‌آزماید، ولی گروه‌هایی را که با هم تفاوت داشته‌اند مشخص نمی‌کند. بنابراین برای پی بردن به گروه‌های متفاوت از آزمون توکی استفاده شد. در این آزمون، تمام اختلاف میانگین‌ها بدون توجه به مقدار میانگین‌های مورد مقایسه با یک مقدار ثابت مقایسه می‌شوند و دو میانگینی با هم تفاوت معنادار دارند که میزان اختلافشان بیشتر از میزان ثابت محاسبه شده شود. متغیر پاسخ باید از نوع کمی و با مقیاس فاصله‌ای یا نسبی اندازه‌گیری شده، و متغیر مستقل باید از نوع کیفی، شامل حداقل دو سطح یا دو نوع مقدار، باشد. توزیع داده‌های متغیر کمی در هر سطح از متغیر کیفی (گروه یا تیمارها) باید نرمال باشد. میان متغیرها باید همگنی وجود داشته باشد که این همگنی با آزمون‌هایی مانند F هارتلی و آزمون لون قابل سنجش است (انتخاب یک نمونه به انتخاب‌های دیگر وابسته نباشد) (رضایی و همکاران، ۱۳۹۱: ۱۱).

اهداف ANOVA شامل آزمون تفاوت آماری میانگین یک متغیر پیوسته در بین دو گروه یا بیشتر، آزمون تفاوت آماری میانگین یک متغیر پیوسته در دو یا چند بازه زمانی و آزمون تفاوت آماری میانگین یک متغیر پیوسته در بین دو یا چند تیمار است (جوان‌بخت امیری و خاتمی، ۱۳۸۴: ۱۳).

یافته‌های پژوهش

با توجه به نتایج جدول ۱، مقدار RMSE در روش KRIGING کمتر از روش IDW بود. این نشان‌دهنده مناسب بودن روش KRIGING به جای IDW است. مقدار RMSE در روش درون‌یابی نشان‌دهنده بهینه‌سازی آن است. نتایج بعضی از مطالعات مشابه دیگر نشان داده‌است که در بیشتر موارد، روش‌های زمین‌آماری برای مدل‌سازی آلاینده‌های هوا بهتر از روش‌های قطعی است (Yu et al., 2018; Qiao et al., 2018; seifi et al., 2021).

جدول ۱- مقایسه روش های KRIGING و IDW (نویسندها، ۱۴۰۱)

Table 1- Comparison between KRIGING and IDW methods (Authors, 2022)

روش‌های درون‌یابی	RMSE	ME	استاندارد	استاندارد	ME
IDW	۷/۲۷	۰/۷۷	-	-	-
KRIGING	۰/۴۸	۱/۲۳	۰/۹۸	۳/۲۴	-

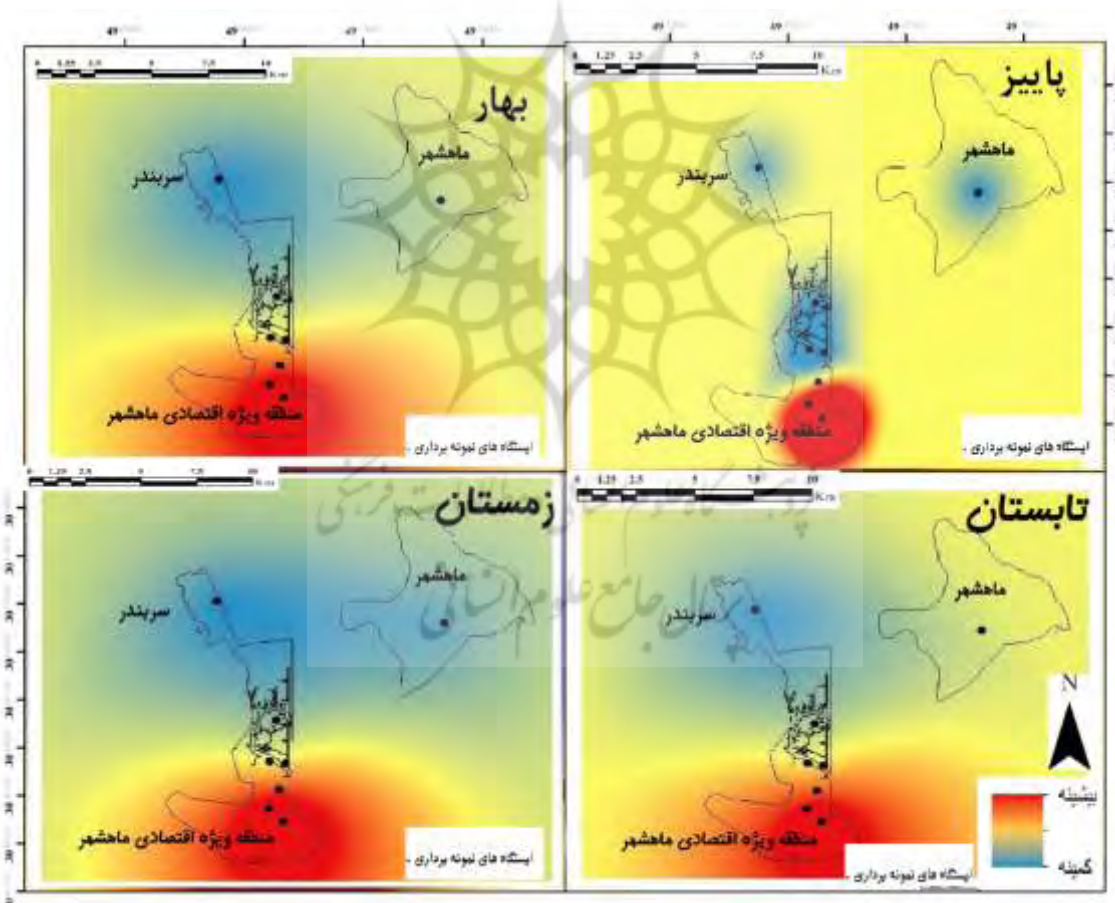
نتایج میانگین غلظت آلاینده‌های مطالعه شده طی فصول مختلف سال‌های مدنظر که با روش روی‌هم‌گذاری FUZZY OVERLAY انجام شده است (Nadal et al., 2012, p. 19) نشان می‌دهد که بیشترین غلظت آلاینده‌های مختلف در سال‌های مدنظر به منطقه صنعتی (ایستگاه‌های ۱، ۲، ۳، ۴ و ۵) در منطقه ویژه اقتصادی ماهشهر و کمترین غلظت به منطقه مسکونی سرپندر (ایستگاه ۷) مربوط است. همچنین منطقه مسکونی ماهشهر (ایستگاه ۶) نسبت به بندر امام خمینی به دلیل نزدیک‌تر بودن به منطقه ویژه اقتصادی ماهشهر، غلظت بیشتری از آلاینده‌ها را دارد. در جدول ۲، میانگین غلظت فصول مختلف آلاینده‌های NO_2 , SO_2 , O_3 و PM_{10} و همچنین نقشه پهن‌بندی شده با روش درون‌یابی KRIGING طی سال‌های ۱۳۹۸-۱۳۹۹ مشاهده می‌شود.

جدول ۲ - میانگین غلظت فضول مختلف آلاینده‌های NO_2 , SO_2 , O_3 و PM_{10} طی سال‌های ۱۳۹۸-۱۳۹۹ (نویسندهان، ۱۴۰۱)

Table 2- Average concentration of different seasons of NO₂, SO₂, O₃ and PM₁₀ pollutants during 2019-2020 (Authors, 2022)

O ₃ (ppb)	SO ₂ (ppb)	NO ₂ (ppb)	PM ₁₀ (mg/m ³)	ایستگاه
۱۹/۵۲	۳/۰۹	۱۸/۳	۲۵	ثابت- بهار
۱۸/۳۶	۳/۰۶	۹/۹۳	۲۶/۱۶	ثابت منطقه ویژه- تابستان
۴۱/۶	۴/۲	۱۵/۶	۳۶/۷۶	ثابت منطقه ویژه- پاییز
۷۸/۲۶	۴/۰۳	۲۱/۴۲	۶۲/۸	ثابت منطقه ویژه- زمستان
۲۲/۸۹	۳/۰۲	۱۴/۹	۶۶/۶	متحرک منطقه ویژه ۱- بهار
۱۸/۲۹	۴/۴	۸/۹	۲۷/۱	متحرک منطقه ویژه ۱- تابستان
۵۱/۵۱	۵/۱۵	۵/۸	۳۹/۶۵	متحرک منطقه ویژه ۱- پاییز
۸۸/۱۹	۵/۰۷	۱۵/۰	۶۳/۴۵	متحرک منطقه ویژه ۱- زمستان
۳۵/۰۴	۳/۶۳	۱۲/۹	۳۳/۲۱	متحرک منطقه ویژه ۲- بهار
۲۶/۴۰	۴/۸	۹/۵	۲۷/۳۵	متحرک منطقه ویژه ۲- تابستان
۴۲/۱۵	۵/۸	۷/۶	۶۳/۱۴	متحرک منطقه ویژه ۲- پاییز
۷۴/۸۱	۷/۱	۱۰/۷	۱۴۷/۵۵	متحرک منطقه ویژه ۲- زمستان
۹۳/۳	۷/۵	۱۵/۳	۶۶/۶	متحرک منطقه ویژه ۳- بهار
۵۴/۱۶	۷/۶	۹/۱	۲۷/۹۸	متحرک منطقه ویژه ۳- تابستان
۴۸/۱۹	۷/۶	۱۰/۲	۴۱/۱۵	متحرک منطقه ویژه ۳- پاییز
۸۷/۱۰	۷/۸	۱۴/۵	۱۴۸/۱۱	متحرک منطقه ویژه ۳- زمستان
۹۹/۴۰	۷/۹	۱۷/۲	۶۸/۱۵	متحرک منطقه ویژه ۴- بهار
۹۵/۳۶	۷/۹	۱۶/۵۶	۵۴/۱۶	متحرک منطقه ویژه ۴- تابستان
۵۶/۷۴	۹/۵	۱۲/۶	۶۷/۱۵	متحرک منطقه ویژه ۴- پاییز

۹۴/۷۵	۱۰/۱	۱۷/۱	۱۴۹/۵۴	متحرک منطقه ویژه ۴- زمستان
۹۹/۷۸	۱۵/۶	۳۸/۵	۶۸/۱۹	متحرک منطقه ویژه ۵- بهار
۹۲/۸	۱۵/۵	۳۶/۵	۲۹/۷	متحرک منطقه ویژه ۵- تابستان
۸۶/۷۳	۱۹/۹	۲۷/۶	۵۰/۲۰	متحرک منطقه ویژه ۵- پاییز
۹۵/۵	۲۲/۸	۲۵/۸	۱۵۵/۲۱	متحرک منطقه ویژه ۵- زمستان
۱۸/۵۴	۲/۲۴	۶/۷۶	۱۲۳/۲۸	سریندر- بهار
۱۷/۴۶	۲/۳۲	۵/۸۲	۱۲۹/۹۸	سریندر- تابستان
۲۳/۸۷	۵/۵۴	۱۱/۶۷	۱۱۹/۵۴	سریندر- پاییز
۳۳/۵	۵/۳۷	۹/۲۱	۱۱۱/۹۸	سریندر- زمستان
۲۴/۵۷	۴/۸۳	۵/۶	۱۱۷/۹۲	ماهشهر- بهار
۲۲/۶۷	۶/۱	۱۵/۸۵	۱۱۵/۹۰	ماهشهر- تابستان
۴۵/۱۰	۵/۲۴	۸/۵۹	۱۲۰/۱۸	ماهشهر- پاییز
۵۵/۶۹	۶/۲	۷۱/۶	۱۱۴/۱۱	ماهشهر- زمستان

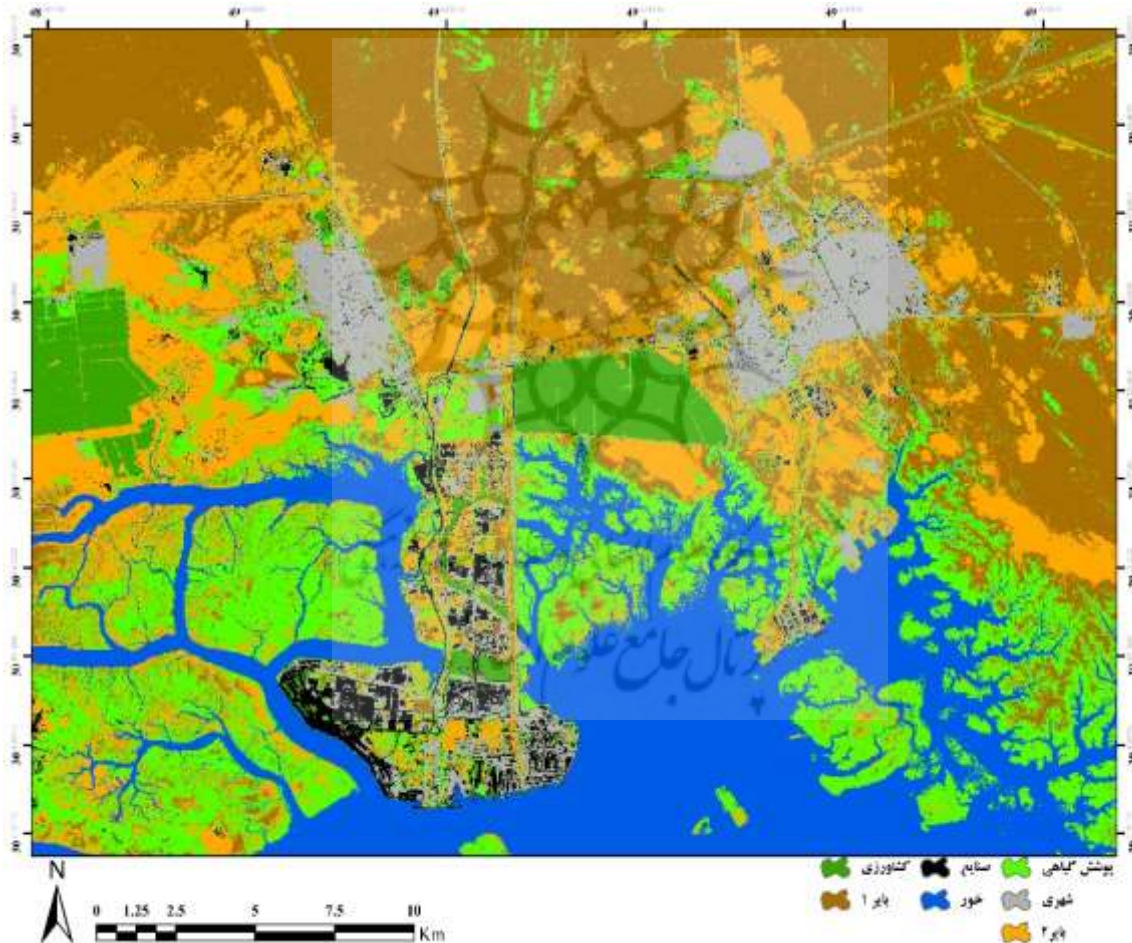


شکل ۴- پهنگنندی میانگین غلظت فصول مختلف مخلوقات سال شهرستان ماهشهر

با استفاده از روش KRIGING طی بازه زمانی ۱۳۹۹-۱۳۹۸ (نویسندهان، ۱۴۰۱)

Figure 4- Zoning the average concentration of different seasons in Mahshahr county using KRIGING method during the period 2019-2020 (Authors, 2022)

نتایج نقشه طبقه‌بندی شده کاربری اراضی منطقه مدنظر که به روش حداکثر احتمال در نرم‌افزار ENVI 5.3 تهیه شده است، نشان می‌دهد که میزان آلاینده‌های مدنظر در کاربری‌های منطقه شامل هفت طبقه کاربری اراضی، مناطق مسکونی، ناحیه صنعتی، خورها، مناطق بایر ۱ و ۲ (شامل زمین‌های بدون استفاده و شورهزار که به دلیل بازتاب‌های بسیار زیاد و به منظور افزایش صحت طبقه‌بندی، این قسمت به دو زیرطبقه بایر ۱ و ۲ تقسیم می‌شود)، پوشش گیاهی و زمین‌های کشاورزی است. در فصول پاییز و زمستان، حداکثر غلظت آلایندگی در کاربری‌های یادشده دیده می‌شود. همچنین نتایج مطالعه نشان می‌دهد که از نظر میزان تأثیرپذیری کاربری‌های منطقه مطالعه شده از آلاینده‌های منتشر شده در جو، کاربری صنعتی منطقه ویژه اقتصادی ماهشهر بیشترین تأثیرپذیری و کاربری کشاورزی (کشت آبی متناوب و محصولاتی از قبیل گندم، جو، حبوبات، صیفی جات و سبزیجات با تناوب آبیاری هفتگی است) کمترین تأثیرپذیری را دارد. شکل زیر نقشه طبقه‌بندی شده کاربری‌های شهرستان ماهشهر به روش حداکثر احتمال در نرم‌افزار ENVI 5.3 طی بازه زمانی ۱۳۹۸-۱۳۹۹ نشان می‌دهد.



شکل ۵- نقشه طبقه‌بندی شده کاربری‌های شهرستان ماهشهر به روش حداکثر احتمال در نرم‌افزار ENVI 5.3 طی بازه زمانی ۱۳۹۹-۱۳۹۸ (نویسنده‌گان، ۱۴۰۱)

Figure 5- Classified map of Mahshahr county uses by maximum likelihood method in ENVI 5.3 software in the period 2019-2020 (Authors, 2022)

همچنین با اضافه کردن نقشهٔ پهنه‌بندی شدهٔ میانگین غلظت آلاینده‌های مدنظر به نقشهٔ طبقه‌بندی شدهٔ کاربری اراضی، میانگین غلظت سالیانهٔ آلاینده‌های اشاره شده که با AND FUZZY OVERLAY و تابع AND در ARC GIS 10.8 Nadal et al., 2011: 19; Xu et al., 2019: 19 بر روی هم گذاری شده، در سال‌های مدنظر و برای هر طبقهٔ کاربری مشخص شده به دست آمد (بررسی شده غلظتی فراتر از استاندارد دارند و درنتیجه مشخص کردن فضاهایی با ظرفیت ایجاد آثار سینزیک آلاینده‌گی کمک می‌کند (Fallah Sourki et al., 2016:14; Kuo et al., 2013: 7). جدول ۳ نشان‌دهندهٔ میانگین غلظت سالیانهٔ آلاینده‌های مطالعه شده در هفت طبقهٔ کاربری مشخص شدهٔ منطقهٔ مطالعه شده است.

جدول ۳- میانگین غلظت سالیانهٔ روی هم گذاری شده با FUZZY OVERLAY و تابع AND در ARCGIS10.8

آلاینده‌های SO_2 , NO_2 , O_3 و PM_{10} در کاربری‌های اراضی شهرستان ماہشهر طی بازهٔ زمانی ۱۳۹۹-۱۴۰۱ (نویسنده‌گان)

Table 3- Mean annual concentration of zinc coated with FUZZY OVERLAY and AND function in ARCGIS10.8 SO_2 , NO_2 , O_3 , PM_{10} pollutants in land uses of Mahshahr county during the period 2019-2020 (Authors, 2022)

کد	کلاس پوشش اراضی	مساحت هر کاربری به هکتار	نوع کاربری	میانگین غلظت سالیانهٔ روی هم گذاری شده با FUZZY OVERLAY
۱	کشاورزی	۱۲۶۶۱	زمین‌های کشاورزی	۷/۶۷۱
۲	اراضی بایر ۱	۷۷۵	زمین‌های برهنه و اراضی دارای پوشش گیاهی کمتر از ۲۰ درصد	۷/۸۹۷
۳	صنعت	۲۸۵۰	صنایع پتروشیمی و کارخانه‌ها	۷/۱۷۰
۴	خور	۵۹۱	مناطق آب	۷/۹۸۹
۵	اراضی بایر ۲	۱۲۱۱۹	شورهزار	۷/۸۵۶
۶	شهر	۲۷۱۳	منازل مسکونی و زمین‌های ساخته شدهٔ تجاری، اداری و ...	۷/۷۸۱
۷	پوشش گیاهی	۴۴۵	چمن‌های سبز شهری، پارک‌های حاشیه‌ای	۷/۸۵۳

ارزیابی رابطهٔ غلظت آلاینده‌ها با کاربری اراضی و فصول مختلف سال

برای برآورد دقت طبقه‌بندی از آزمون تحلیل واریانس (ANOVA) استفاده شد. با توجه به نتایج به دست آمده از این آزمون، مشخص شده‌است که میان کاربری‌های مطالعه شده رابطهٔ معناداری وجود ندارد و تمامی کاربری‌ها به صورت یکسان در معرض آلاینده‌های متشرشده در جوّ هستند، اما میان فصول مختلف سال طی بازهٔ زمانی

۱۳۹۹-۱۳۹۸ اختلاف معناداری مشاهده شده است. جدول ۴ نشان دهنده مقایسه ارتباط معنادار آلاینده‌های اشاره شده با فصول مختلف سال با روش تحلیل واریانس ANOVA است (اعداد کمتر از ۰,۰۵ با علامت * نشان داده شده است که وجود ارتباط معنادار میان فصول مختلف طی سال‌های مدنظر را نشان می‌دهد) (رضایی و همکاران، ۱۳۹۱: ۱۱).

جدول ۴- مقایسه میانگین غلظت آلاینده‌های NO_2 , O_3 , SO_2 و PM_{10} در فصول مختلف سال‌های ۱۳۹۹-۱۳۹۸ با روش آماری

تحلیل واریانس ANOVA (نویسنده‌گان، ۱۴۰۱)

Table 4- Comparison of average concentrations of NO_2 , SO_2 , O_3 and PM_{10} pollutants in different seasons of 2019-2020 by ANOVA analysis of variance (Authors, 2022)

P VALUE (NO_2)	P VALUE (SO_2)	P VALUE (O_3)	PVALUE (PM_{10})	مقایسه فصول مختلف
۱	۱	۱	۱	پاییز ۱۳۹۸-پاییز ۱۳۹۹
۰,۱۱	۰,۰۲۹	۰,۰۵	۰,۰۵	پاییز ۱۳۹۸-بهار
۰,۰۰۷	۰,۰۰۶	۰,۰۰۷*	۰,۰۳	پاییز ۱۳۹۹-بهار
۰,۰۴۶	۱	۰,۰۴	۰,۰۸	پاییز ۱۳۹۸-بهار
۰,۰۰۴*	۰,۰۰۰۸	۰,۰۱	۰,۰۶	پاییز ۱۳۹۹-بهار
۱	۱	۱	۱	بهار ۱۳۹۸-بهار
۱	۱	۰,۰۴	۱	پاییز ۱۳۹۸-تابستان
۰,۰۲	۰,۰۰۰۴*	۰,۰۲	۱	پاییز ۱۳۹۹-تابستان
۱	۱	۱	۱	بهار ۱۳۹۸-تابستان
۱	۱	۱	۱	بهار ۱۳۹۹-تابستان
۱	۱	۰,۰۸	۱	پاییز ۱۳۹۸-تابستان
۰,۰۱۸	۱	۰,۰۴	۱	پاییز ۱۳۹۹-تابستان
۱	۰,۰۰۱*	۱	۱	بهار ۱۳۹۸-تابستان
۱	۰,۰۱	۱	۱	بهار ۱۳۹۹-تابستان
۱	۰,۰۸	۱	۱	تابستان ۱۳۹۸-تابستان
۱	۰,۰۲	۱	۰/۴	پاییز ۱۳۹۸-زمستان
۱	۱	۱	۰,۰۷	پاییز ۱۳۹۹-زمستان
۰,۰۰۱*	۳,۰۸	۰,۰۰۱*	۰,۰۰۳*	بهار ۱۳۹۸-زمستان
۰,۰۰۱*	۰,۰۰۱*	۰,۰۰۰۲*	۰,۰۰۱*	بهار ۱۳۹۹-زمستان
۰,۰۰۱*	۰,۰۰۱*	۰,۰۰۰۲*	۰,۰۰۰۸	تابستان ۱۳۹۸-زمستان
۰,۰۰۹	۱	۰,۰۰۶	۰,۰۰۱*	تابستان ۱۳۹۹-زمستان
۰,۰۳	۰,۰۰۰۲*	۰,۰۰۰۸	۰,۰۳۶	پاییز ۱۳۹۸-زمستان
۱	۰,۶	۱	۰,۰۵۴	پاییز ۱۳۹۹-زمستان
۱,۰۴	۵,۶	۲,۸	۰,۰۰۲*	بهار ۱۳۹۸-زمستان
۰,۰۰۱*	۳,۵	۰,۰۰۶	۰,۰۰۶	بهار ۱۳۹۹-زمستان
۰,۰۰۱*	۰,۰۰۵	۰,۰۰۸	۰,۰۰۵	تابستان ۱۳۹۸-زمستان
۰,۰۰۱*	۰,۳	۰,۰۰۲*	۰,۰۰۹	تابستان ۱۳۹۹-زمستان
۱	۱	۱	۱	زمستان ۱۳۹۹-زمستان

با توجه به نتایج مقایسه میانگین غلظت فصول مختلف سال‌های مدنظر با آزمون ANOVA مشخص شده است که آلاینده‌های NO_2 و O_3 در فصول بهار ۱۳۹۸ و پاییز ۱۳۹۹، تابستان ۱۳۹۹ و زمستان ۱۳۹۸، بهار ۱۳۹۹ و تابستان ۱۳۹۸ و بهار ۱۳۹۹ و زمستان ۱۳۹۹ اختلاف معنادار دارند. آلاینده SO_2 در فصول پاییز ۱۳۹۸ و زمستان ۱۳۹۹، بهار ۱۳۹۹ و تابستان ۱۳۹۹، بهار ۱۳۹۹ و زمستان ۱۳۹۹ و تابستان ۱۳۹۹ اختلاف معنادار دارند. همچنین آلاینده PM_{10} در فصول بهار ۱۳۹۸ و زمستان ۱۳۹۹ و تابستان ۱۳۹۹ اختلاف معنادار دارند. همچنین به‌طورکلی می‌توان گفت که میان فصول مختلف سال در سال‌های مطالعه شده، فصول پاییز و زمستان در سال‌های ۱۳۹۹-۱۳۹۸ بیشترین اختلاف معنادار را دارند.

نتیجه‌گیری

آلودگی هوا یک مشکل محیط‌زیستی جهانی است که بسیاری از شهرهای جهان را تحت تأثیر قرار داده است. آلودگی در مناطق صنعتی و ساحلی از منابع مختلفی چون حمل و نقل بنادر، کشتیرانی، تجهیزات بارگیری و تخلیه بار و دیگر منابع ساکن و متحرک وارد جو می‌شود و بر سلامت مردم و کاربری اراضی اطراف تأثیر می‌گذارد (اشرفی و همکاران، ۱۳۹۱: ۱۱). الگوهای پوشش زمین و کاربری اراضی در طول زمان دگرگونی اساسی می‌یابند و عوامل انسانی می‌تواند بیشترین نقش را در این زمینه داشته باشد (رسولی، ۱۳۸۷: ۹). از عوامل دیگری که بر کاربری‌های زمین تأثیر می‌گذارد، صنایع و کارخانه‌ها و همچنین افزایش جمعیت و مساحت اراضی مسکونی (به‌ویژه در مناطق صنعتی که به‌دلیل انتقال اشتغال، جاذب جمعیت هستند) است.

شهرستان ماہشهر یکی از قطب‌های صنعتی کشور محسوب می‌شود که آلاینده‌های صنعتی آن بر سلامت ساکنان مجاور و کاربری‌های اطراف بسیار تأثیرگذار است (کیلان، ۱۳۹۲: ۸۷). بر این اساس، مطالعه حاضر با هدف بررسی غلظت آلاینده‌های PM_{10} , O_3 , SO_2 در مناطق مختلف شهرستان ماہشهر و تأثیر میزان غلظت آلاینده‌های یادشده بر کاربری اراضی منطقه مطالعه شده انجام شد. برای بررسی معنادار بودن و نبودن نتایج، از آزمون تحلیل واریانس ANOVA استفاده شد.

نتایج مقایسه و کنترل دقیق روش‌های درون‌یابی از ریشه میانگین مربع خطای (RMSE) و میانگین خطای (ME) نشان‌دهنده آن بود که KRIGING بهترین روش برای برآورد غلظت آلاینده‌های PM_{10} , O_3 , SO_2 , NO_2 و O_3 است (Seifi et al., 2021, p. 9; Shi et al., 2019, p. 7; Masroor et al., 2020, p. 9; Metia et al., 2020, p. 4). به‌طورکلی می‌توان نتیجه گرفت که بیشترین غلظت آلاینده‌های PM_{10} , O_3 , NO_2 و SO_2 به ایستگاه منطقه ویژه اقتصادی ماشهر و کمترین غلظت آلاینده‌ها به ایستگاه بندر امام خمینی مربوط است. زیاد بودن میزان غلظت آلاینده‌ها در ایستگاه منطقه ویژه اقتصادی ماشهر به دلیل وجود صنایع پتروشیمی متعدد واقع در این مکان و تولید و انتشار زیاد این آلاینده‌ها در جو است که بر دیگر نقاط منطقه مدنظر نیز تأثیر می‌گذارد (کیلان: ۸۷؛ اشرفی و همکاران، ۱۳۹۱: ۱۱). ایستگاه مسکونی ماشهر به‌دلیل نزدیک‌تر بودن منطقه ویژه اقتصادی ماشهر نسبت به بندر امام خمینی، بیشتر تحت تأثیر آلاینده‌ها قرار می‌گیرد و میزان غلظت آلاینده‌های یادشده در این منطقه بیشتر از ایستگاه بندر امام خمینی است. مطالعات متعددی نشان می‌دهد که غلظت آلاینده‌های PM_{10} , O_3 , NO_2 و SO_2 در مناطق مسکونی هم‌جوار با

صنایع پتروشیمی بسیار بیشتر از سایر مناطق است که این نتیجه با نتیجه پژوهش حاضر همخوانی دارد (Nadal et al., 2011, p. 19; Albanese et al., 2014, p. 12; Kongtip et al., 2013, p. 8). از میان کاربری‌های استفاده شده در این پژوهش، صنایع پتروشیمی بیشترین غلظت آلاینده‌های منتشرشده در جو را دارند و خورهای اطراف آن به دلیل مجاورت با صنعت و تحت تأثیر قرار گرفتن از این ناحیه صنعتی، غلظت بیشتری نسبت به بقیه کاربری‌ها دارند. با فاصله گرفتن از این نواحی، میزان تأثیرپذیری کاربری‌ها از آلاینده‌ها کمتر می‌شود و کمترین میزان اثر آلاینده‌ها بر کاربری کشاورزی است.

تاکنون پژوهش‌های متعددی درباره ارزیابی توان و تغییرات کاربری اراضی و ارتباط آن با آلودگی هوا با روش‌های گوناگونی از جمله GIS، انگرال فازی و روش‌های گوناگون وزن‌دهی انجام شده است و نتایج نشان‌دهنده آن بود که با در نظر گرفتن آلودگی هوا می‌توان به نتایج بهتری برای سنجش میزان تغییرات کاربری اراضی دست یافت (khavarian-garmsir et al., 2015, p. 24; El Baroudy, 2016, p. 103; Memarbashi et al., 2017, p. 12). پژوهشگران در مطالعات خود در زمینه پایش تغییرات کاربری اراضی مریوان به نتایج مشابهی دست یافته‌ند و مشخص شد که روند تغییرات کاربری کشاورزی کاهشی است (یوسفی و همکاران، ۱۳۹۰: ۸). همچنین نتایج ANOVA نشان‌دهنده این است که تفاوت معناداری میان غلظت آلاینده‌ها در طبقات مختلف کاربری پوشش اراضی مشاهده نشده است. این مورد نشان می‌دهد که شهرهای اطراف نیز به طور کلی در معرض غلظت زیاد آلاینده‌های بررسی شده‌اند. علت نبود تفاوت معناداری میان کاربری‌های مختلف در منطقه را می‌توان به محدوده کوچک منطقه مطالعاتی معرفی کرد. باعث تأثیرپذیری یکسان کاربری‌ها از منطقه صنعتی به دلیل فاصله کم با آن می‌شود. با این حال به‌شکل معناداری فصول پاییز و زمستان بیش از دیگر فصول سال در معرض افزایش غلظت آلاینده‌های مطالعه شده‌اند که این امر می‌تواند ناشی از شرایط جویی، وارونگی هوا و کاهش میزان پراکنش آلاینده‌ها در این فصول باشد (Chiang et al., 2016, p. 7; Borge et al., 2016, p. 13; Deligiorgi et al., 2018, p. 11; Khan et al., 2019, p. 19). در مطالعات مشابه دیگر، تأثیر غلظت زیاد آلاینده‌های هوا در مناطق شهری در فصول مختلف سال بررسی شد و نتایج نشان‌دهنده افزایش میزان غلظت آلاینده‌ها در فصول پاییز و زمستان بود (ملمامی و همکاران، ۱۳۸۹: ۱۲؛ محمدی و رباطی، ۱۳۸۸: ۲۱؛ سرخیل و همکاران، ۱۳۹۷: ۱۶).

نتایج پژوهش حاضر می‌تواند به مسئولان بهداشت در شناسایی آلوده‌ترین مناطق، میزان تأثیر آلودگی هوا بر کاربری اراضی و سلامت افراد منطقه و میزان تغییرات کاربری اراضی منطقه، و همچنین به سیاست‌گذاران در طراحی و اجرای برنامه عملیاتی برای کاهش غلظت آلاینده‌های O_3 , PM_{10} , NO_2 و SO_2 کمک کند.

منابع

- اسماعیل‌زاده، محمد؛ بذرافشان، ادریس و نصرآبادی، مهناز (۱۳۹۲). مدل‌سازی انتشار گازهای SO_2 و NO_x خروجی از دودکش نیروگاه گازی توس مشهد. *مجله سلامت و محیط*، دوره ۶، شماره ۱، ص ۹۰-۷۷.
- ashrfi، خسرو؛ حاجی‌زاد، ناصر؛ رحمانی، ایرج و مقدم، مونا (۱۳۹۱). سنجش و تحلیل آلاینده‌های هوا در بندر امام خمینی (ره). *دهمین همایش بین‌المللی سواحل، بنادر و سازه‌های دریایی*، ۱۱ صفحه.

- پیکان پورفرد، رضا؛ مرادی، حسین؛ لطفی، علی و پورمنافی، سعید (۱۴۰۰). تلفیق نقشه‌سازی آلودگی هوا در برنامه‌ریزی کاربری اراضی شهرستان مبارکه. *جغرافیا و برنامه‌ریزی محیطی*، سال ۳۲، شماره ۲، ص ۶۶-۴۵.
- حمایتی نژاد، حمید و رجایی، علی (۱۳۹۲). ارزیابی تناسب کاربری اراضی از طریق مدل توان اکولوژیک در استان اردبیل با هدف آمایش سرزمین. *مجله علمی پژوهشی آمایش سرزمین*، دوره ۵، شماره ۱، ص ۵-۲۶.
- جوانبخت امیری، سعید و خاتمی، هانیه (۱۳۸۴). بررسی ارتباط بین آلاینده‌های شاخص کیفیت هوا و پارامترهای هواشناسی در تهران با رویکرد آنالیز رگرسیون سال ۱۳۸۴. *انسان و محیط‌زیست*، دوره ۱۰، شماره ۱، ص ۱۵-۲۸.
- سرخیل، حمید؛ عظیمی، یوسف و رهبری، شاهرخ (۱۳۹۷). ارزیابی کیفیت زیست محیطی هوا با استفاده از منطق فازی در منطقه ویژه اقتصادی و انرژی پارس. *علوم و تکنولوژی محیط‌زیست*، سال ۷۹، شماره ۴، صفحه ۱۶.
- کیلان، ندا (۱۳۹۲). ارزیابی اثرات تجمیعی توسعه صنایع پتروشیمی منطقه ویژه اقتصادی ماهشهر. *پایان‌نامه کارشناسی ارشد*، استاد راهنمای دکتر احمد ستوده، گروه محیط‌زیست، دانشگاه یزد، دانشکده منابع طبیعی و کویرشناسی.
- محمدی، حسین و رباطی، معصومه (۱۳۸۸). نقش پارامترهای اقلیمی در پراکنش آلودگی هوا در منطقه ویژه اقتصادی پتروشیمی‌های ماهشهر. *جغرافیا*، دوره ۳، شماره ۲۱، ص ۱۰۰-۱۲۱.
- ملمامی، سعید؛ جوزی، علی؛ منوری، مسعود و جعفریان مقدم، الهه (۱۳۸۹). بررسی اثرات محیط‌زیستی صنایع پتروشیمی تولیدکننده PET-PTA. *انسان و محیط‌زیست*، دوره ۱۲، شماره ۸، ص ۷۳-۸۱.
- محمداسماعیل، زهرا (۱۳۸۹). پایش تغییرات کاربری اراضی کرج با استفاده از تکنیک سنجش از دور. *نشریه پژوهش خاک (علوم و آب)*، دوره ۲۴، شماره ۱، صفحه ۸۱.
- یوسفی، صالح؛ مرادی، حمیدرضا؛ حسینی، حمزه و میرزایی، سمیه (۱۳۹۰). پایش تغییرات کاربری اراضی مریوان با استفاده از سنجنده TM و ماهواره LANDSAT. *کاربرد سنجش از دور و GIS در علوم منابع طبیعی*، دوره ۲، شماره ۳، ص ۹۷-۱۰۵.
- فیضیزاده، بختیار؛ ولی‌زاده کامران، خلیل و حیدری، حسن (۱۳۸۶). استخراج کاربری‌های اراضی شهرستان ملکان با استفاده از تصاویر ماهواره‌ای ETM⁺ لندهست ۷. *آمایش سرزمین*، دوره ۲، شماره ۳.
- رسولی، علی (۱۳۸۷). مبانی سنجش از دور کاربردی با تأکید بر پردازش تصاویر ماهواره‌ای. *انتشارات دانشگاه تبریز*.
- رضایی، محمد و بشیری، محمود (۱۳۹۱). تحلیلی بر نقش برنامه‌ریزی راهبردی در آموزش توسعه پایدار با تأکید بر ابعاد محیط‌زیستی. *علوم و تکنولوژی محیط‌زیست*، دوره ۱۶، شماره ۲، ص ۴۰۹-۴۲۱.
- طالبی‌فرد، رضا؛ شفیعی، اشکان و یگانه، افشین (۱۴۰۰). ارزیابی فضایی تأثیر پارامترهای کاربری اراضی بر کیفیت هوا در مناطق شهری، مطالعه موردی: شهر تهران. *مطالعات علوم محیط‌زیست*، دوره ۶، شماره ۳، ص ۳۸۹۰-۳۸۹۹.
- Albanese, S., De Vivo, B., Lima, A., Frattasio, G., Kříbek, B., Nyambe, I. & Majer, V. (2014). Prioritising environmental risk at the regional scale by a GIS aided technique. *Journal of Geochemical Exploration*, Voloume 144, Pp 332-344.
- Akbari, E., Zangane Asadi, M. & Taghavi, E. (2016). Change detectionn land use and land cover regional neyshabour using Different methods of statistical training theory. *Geographical Planning of Space*, Voloume 6, Issue 20, Pp 35-50.

- Abbasspour, M., Javid, A. & Saeidi, S. (2014). The Impact of Urban Parks on PM10 Suspended Particles, Through Using GIS Software. *Journal of Environmental Science and Technology*, Voloume 16, Issue 1, Pp 1-12.
- Atai, H. & Hashemi, S. (2011). Identification and analysis of atmospheric mid-level patterns affecting air pollution in Isfahan. *Journal of Research and Urban Planning*, Voloume 2, Issue 4, Pp 97-113.
- Borge, R., Narros, A., Artíñano, B., Yagüe, C., Gómez-Moreno, F. & Paz, D. (2016). Assessment of microscale spatiotemporal variation of air pollution at an urban hotspot in Madrid (Spain) through an extensive field campaign. *Atmospheric environment*, Voloume 140, Pp 432-445.
- Chiang, T., Yuan, T., Shie, R., Chen, C. & Chan, C. (2016). Increased incidence of allergic rhinitis, bronchitis and asthma, in children living near a petrochemical complex with SO₂ pollution. *Environment International*, Voloume 96, Pp 1-7.
- Deligiorgi, D. & Philippopoulos, K. (2018). Spatial interpolation methodologies in urban air pollution modeling. *Advanced Air Pollution*, Voloume 341, Pp 62-73.
- El Baroudy, A. (2016). Mapping and evaluating land suitability using a GIS-based model. *Catena*, Volume 140, Pp 96-140.
- Fan F., Weng, Q. & Wang, Y. (2007). Land use land cover change in Guangzhou, China, from 1998 to 2003, based on Landsat TM/ETM⁺ imagery. *Sensors*, Voloume 7, Pp 1323-1342.
- Fallah Sourki, M., Kavian A. & Omidvar, E. (2016). Prioritiztization of Haraz sub-watersheds in order to Soil and Water Conservation Practices Based on Morphometric and Land Use Characteristics. *Journal of Science and Technology of Agriculture and Natural Resources*, Voloume 20, Issue 77, Pp 85-99.
- Guo, L., Yuan, P., Song, Y., Peng, J. & Wang, L. (2011). Case study and environmental risk assessment of the petrochemical industry. Voloume 80, Pp 1101-1104.
- Han, L., Zhao, J., Gao, Y., Gu, Z., Xin, K. & Zhang, J. (2020). Spatial distribution characteristics of PM2.5 and PM10 in Xi'an City/predicted by land use regression models. *Sustainable Cities and Society*, Volume 61, Pp 1-16.
- Halim, N., Latif, M., Mohamed, A., Maulud, K., Idrus, S., Azhari, A., Othman, M. & Sofwan, N. (2020). Spatial assessment of land use impact on air quality in mega urban regions Malaysia. *Sustainable Cities and Society*, Volume 63, Pp 1-13.
- Ismailnejad, M., Eskandari Sani, M. & Barzaman, S. (2015). Evaluation and Zoning of Urban air Pollution in Tabriz. *Regional Planning*, Voloume 5, Issue 19, Pp 173-186.
- Jiang, Z., Cheng, H., Zhang, P. & Kang, T. (2021). Influence of urban morphological parameters on the distribution and diffusion of air pollutants: A case study in China. *Journal of Environmental Sciences*, Voloume 105, Pp 163-172.
- Kongtip, P., Singkaew, P., Yoosook, W., Chantanakul, S. & Sujiratat, D. (2013). Health effects of people living close to a petrochemical industrial estate in Thailand. *Journal of the Medical Association of Thailand*, Voloume, Pp 64-72.
- Khavarian-Garmsir, A. & Rezaei, M. (2015). Selection of appropriate locations for industrial areas using GIS-fuzzy methods: A case study of Yazd Township, Iran. *Journal of Settlements and Spatial Planning*, Volume 6, Issue 1, Pp 19-25.
- Kuo, Y., Lu, S., Tzeng, G., Lin, Y. & Huang, Y. (2013). Using fuzzy integral approach to enhance site selection assessment a case study of the optoelectronics industry. *Procedia Computer Science*, Volume 17, Pp 306-313.
- Kongtip, P., Singkaew, P., Yoosook, W., Chantanakul, S. & Sujiratat, D. (2013). Health effects of people living close to a petrochemical industrial estate in Thailand. *Journal of the Medical Association of Thailand*, Chotmaihet thangphaet, Voloume 96, Issue 5, Pp 64-72.
- Kelishadi, R., Moeini, R. & Poursafa, P. (2014). Indepent association between air pollutants and vitamin D deficient in young children in Isfahan, Iran. *Paediatrics and international child health*, Voloume 34, Issue 1, Pp 50-55.
- Khan, J., Kakosimos, K., Raaschou, O., Brandt, J., Jensen, S. & Ellermann, T. (2019). Development and performance evaluation of new AirGIS—a GIS based air pollution and human exposure modelling system. *Atmospheric environment*, Voloume 198, Pp 102-121.

- Lue, D., Xu, J., Yue, W., Mao, W., Yang, D. & Wang, J. (2020). Response of PM_{2.5} pollution to land use in China. *Journal of Cleaner Production*, Volume 244, Pp 1-25.
- López-Serrano, P., Corral-Rivas, J., Díaz-Varela, R., Álvarez-González, J. & López-Sánchez, C. (2016). Evaluation of radiometric and atmospheric correction algorithms for aboveground forest biomass estimation using landsat 5 TM data. *Remote Sensing*, Voloume 8, Issue 5, Pp 1-19.
- Metia, S., Ha, P., Duc, H.N. & Scorgie, Y. (2020). Urban air pollution estimation using unscented Kalman filtered inverse modeling with scaled monitoring data. *Sustainable Cities and Society*, Voloume 54, Pp 97-101.
- Memarbashi, E., Azadi, H., Barati, A.A., Mohajeri, F., Passel, S.V. & Witlox, F. (2017). Land-use suitability in Northeast Iran: application of AHP-GIS hybrid model. *ISPRS International Journal of Geo-Information*, Volume 6, Issue 12, Pp 1-15.
- Montero, J. & Fernández, G. (2018). Functional kriging prediction of atmospheric particulate matter concentrations in Madrid, Spain: Is the new monitoring system masking potential public health problems. *Journal of Cleaner Production*, Voloume 175, Pp 283-293.
- Masroor, K., Yousefi, S., Fanaei, F. & Raeesi, M. (2020). Spatial modelling of PM2.5 concentrations in Tehran using Kriging and inverse distance weighting (IDW) methods. *Journal of Air Pollution and Healt*, Voloume 5, Issue 1, Pp 1-9.
- Nadal, M., Cadiach Ricoma, O., Kumar, V., Poblet, P., Mari, M., Schuhmacher, M. & Domingo, J. (2011). Health Risk Map of a Petrochemical Complex through GIS-Fuzzy Integration of Air Pollution Monitoring Data, *Human and Ecological Risk Assessment: An International Journal*, Voloume 17, Pp 873-891.
- Noorpoor, A. & Feiz, S. (2014). Determination of the Spatial and Temporal Variation of SO₂, NO₂ and Particulate Matter Using GIS Techniques and Estimation of Concentration Modeling with LUR Method. *Journal of Environmental Studies*, Voloume 40, Issue 3, Pp 723-738.
- Qiao, P., Lei, M., Yang, S., Yang, J., Guo, G. & Zhou, X. (2018). Comparing ordinary kriging and inverse distance weighting for soil as pollution in Beijing. *Environmental Science and Pollution Research*, Voloume 25, Issue 16, Pp 597-608.
- Sarwar, M.T. & Maqbool, A. (2019). Causes and control measures of urban air pollution in China. *Environment & Ecosystem Science (EES)*, Volume 3, Issue 1, Pp 35-36.
- Shi, X., Li, M., Hunter, O., Guetti, B., Andrew, A. & Stommel, E. (2019). Estimation of environmental exposure: interpolation, kernel density estimation or snapshotting. *Annals of GIS*, Voloume 25, Issue 1, Pp 1-8.
- Sharifi Sadeh, M. & Ahmadi Nadoushan, M. (2018). Application of a land use regression (LUR) model to the spatial modelling of air pollutants in Esfahan city. *Environmental Sciences*, Voloume 16, Issue 2, Pp 203-216.
- Seifi, M., Yunesian, M. & Nadafee, K. (2021). Exposure to ambient air pollution and socio-economic status on intelligence quotient among schoolchildren in a developing country. *Environmental Science and Pollution Research*, Voloume 29, Issue 1, Pp 1-9.
- Vahdat, A. & Rahimi, S. (2013). Impact of urban land use pattern on Tehran air quality. *Journal of Research and Urban Planning*, Voloume 4, Issue 14, Pp 123-142.
- Tehrani, N., Mollalo, A., Farhani, F. & Pahlevanzade, N. (2021). Time-Series Analysis of COVID-19 in Iran: A Remote Sensing Perspective. *geospatial information and community resilience*,Voloume 21, Pp 277-290.
- Vahdat, A. & Alimohammadi, A. (2020). Study of Hourly Variability of Association between Land Use Parameters and COPollutant Using LUR Model in Tehran. *Iranian Journal of Remote Sensing & GIS*, Voloume 12, Issue 1, Pp 1-18.
- Xu, H., Bechle, M.J., Wang, M., Szpiro, A.A., Vedal, S. & Bai, Y. (2019). National PM_{2.5} and NO₂ exposure models for China based on land use regression, satellite measurements and universal kriging. *Science of the Total Environment*, Voloume 655, Pp 423-433.
- Yu, H., Russell, A., Mulholland, J., Odman, T., Hu, Y. & Chang, H. (2018). Cross-comparison and evaluation of air pollution field estimation methods. *Atmospheric environment*, Voloume 179, Pp 49-60.
- Yang, C.Y., Wang, J.D., Chan, C.C., Hwang, J.S. & Chen, P. (2021). Respiratory symptoms of primary school children living in a petrochemical polluted area in Taiwan. *Pediatr Pulmonol*, Voloume 25, Pp 299-303.